

船体運動にともなう荷役貨物のふれまわりについて

大阪大学工学部

正 横木 亨

○ 神戸商船大学船貨輸送研究施設 正 久保 雅義

1 まえがき

港内において船舶が安全かつ能率的に荷役作業を行うためには港内静穏度はどの程度なければならないかを調査研究してきた。第30回の年次講演会においてはアンケート調査の結果を報告したが、その中で船体運動に伴うクレーン荷物のふれ回りが問題になることを指摘し、Swayingがある場合の厳密解を提示した。最近では海洋開発がさかんになるにつれて Floating Crane も活躍しており、この場合は船体運動に伴うクレーン荷物のふれ回りが、荷役可能日数を決める最大の要因であるといわれている²⁾。そこで Deck Crane で吊られた荷物が船体運動のためどのようなふれ回りをするか検討したので次下を報告する。

2 Deck Crane で吊られた貨物の運動の理論解析

Swaying と Rolling がある時、Deck Crane で揚荷役をする場合について考える。この場合は平面運動になるので、座標系を図-1のように定める。ここで OYZ は空間に固定した直交軸であり、O'YZ' は船に固定した直交軸で、O' は船の回転中心である。今船の Rolling 角を θ 、貨物のふれ角を φ 、貨物の重量を m 、Cargo Hall の長さを l とし、それに働く張力を T 、重力加速度を g とすると、貨物のふれ回りの運動方程式は式(1)で与えられる。

$$m\ddot{\varphi} = T \cdot (\theta - \delta) \quad (1)$$

ここで、 θ および δ は小さくして

$$\theta \approx \dot{\theta}/\omega, \quad T \approx m \cdot g \quad (2)$$

とおく。更に図-1より

$$y = A \cdot \sin(\omega t + \epsilon_s) + (l_B + d - l) \cdot \theta \cdot \sin(\omega t + \epsilon_R) + l \cdot \dot{\theta} \quad (3)$$

が求まる。ここで A 、 θ はそれぞれ Swaying と Rolling の振巾で w はその運動の角周波数、 ϵ_s と ϵ_R は Swaying と Rolling の位相あくれ、 d は船の回転中心から荷役作業面までの距離、そして l_B は荷役作業面からクレーン先端までの距離を示す。式(2)および式(3)を式(1)に代入して整理すれば、次のようないくつかの基本方程式が得られる。

$$l \cdot \ddot{\theta} + 2l \cdot \dot{\theta} + g\theta = \{g + (l_B + d - l)w^2\} \theta \sin(\omega t + \epsilon_R) + 2l \cdot w \cos(\omega t + \epsilon_R) + Aw^2 \sin(\omega t + \epsilon_s) = F_1 \quad (4)$$

この時の解は

$$y' = l\theta = P_1 J_1(\xi) + P_2 Y_1(\xi) - Y_1(\xi) \int_{3) 4)}^{t} \frac{\pi V}{48} F_1 J_1(\xi) dt + Y_1(\xi) \int_{3) 4)}^{t} \frac{\pi V}{48} F_1 J_1(\xi) dt \quad (5)$$

で与えられる。ただし

$$\dot{l} = V \text{ (一定)}, \quad \xi = 2\sqrt{3l/V^2}$$

J_1 は一次のベッセル関数、 Y_1 は一次のノイマン関数

である。式(5)の P_1 と P_2 は積分定数で、 y' の初期条件より決められる。

3 理論解と実験結果との比較

上記の理論解は Rolling と Swaying。両者による貨物のふれ回りを示すが、実験装置の都合上、実験は Rolling と Swaying を別々に行なってある。Swaying は荷役装置の下 K 車をフロモータで規則的な Swaying を起しその時の貨物の軌跡をビデオ・テープで撮影し、それを理論解と比較したのが図-2である。次に Rolling の動揺試験台の上に、Deck Crane をのせて、実験を行なった。図-3 はビデオ・テープで得られた貨物の軌跡を理論

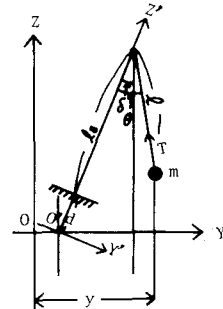


図-1 空間に固定された座標

系 OYZ と船に固定された
座標系 O'YZ'。

値と比較したものである。これらは一例にすぎないが、運動、周期と巻上げ速度をいろいろうかべた時の理論と実験における最大ふれ幅 y_{max} の比較においても両者はほぼ等しいことが確かめられた。そこで著者は次に、この数值解を使って条件をいろいろ変えて場合の計算を行なつてみた。

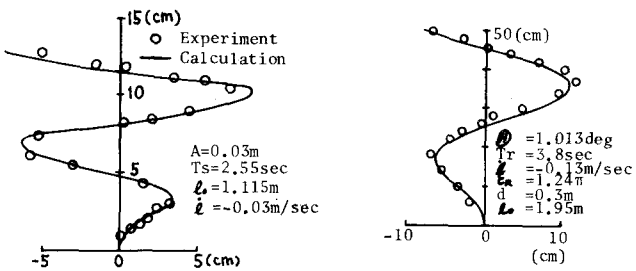


図-2 Swayingによる貨物のふれ回りの影響について

図-2 Swayingによる貨物のふれ回り

図-3 Rollingによる貨物のふれ回り

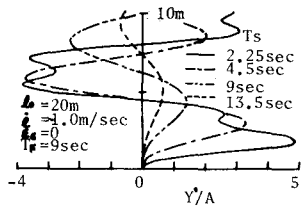


図-4 Swaying周期が貨物のふれ回りに及ぼす影響

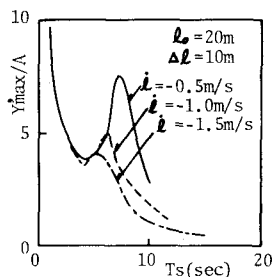


図-5 貨物の巻上速度が貨物のふれ回りに及ぼす影響

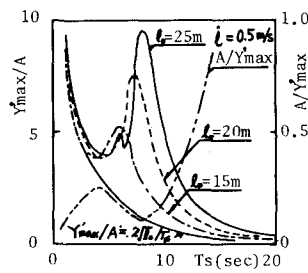


図-6 l₀からl=10mまで巻上げた時の貨物のふれ回り

図-4はSwayingの周期 T_s を変化させた場合の貨物のふれ回りの軌跡であるが、振り子の固有周期を下すとすると、図からわかるように、 $T_s < T_r$ では巻上げの初期にふれ幅は最大になり、 $T_s \approx T_r$ では巻上げるにつれてふれ幅は大きくなり、 $T_s > T_r$ ではふれ幅は小さくなる。図-5は巻上速度を変えた場合のふれ幅に関する共振曲線を示している。ここで l_0 は巻上げる前の Cargo Hall の長さであり、 Δl は巻上げ量を示す。図-6は貨物を巻上げ始め位置の影響を示しており、2点鎖線の A/Y_{max} は最大ふれ幅が 1m となる Swaying の振幅 A を与える曲線である。

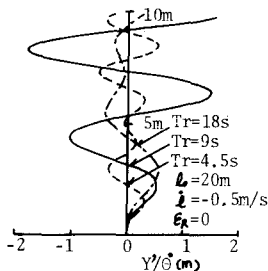


図-7 Rolling周期が貨物のふれ回りに及ぼす影響

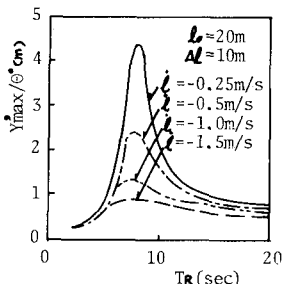


図-8 貨物の巻上速度が貨物のふれ回りに及ぼす影響

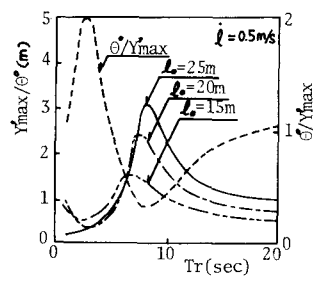


図-9 l₀からl=10mまで巻上げた時の貨物のふれ回り

図-7, 8, 9 は Rolling による影響を上と同じような面から調べたものである。図-6と図-9より、Deck Crane から吊された貨物の振り子としての共振周期はうねりの周期に近いので、外洋での Deck Crane 荷役には充分注意が払われなくてはならないことがわかる。

1) 久保雅義：港湾荷役条件と自然条件との関連性について、第30回年次講演会、昭和50年。

2) 岩田・谷山：大型海洋構造物建設におけるデリックバージの作業限界、第23回海岸工学、1976年。

3) 坪井忠二：振動論、P.296～299、河出書房、昭和17年。

4) 小平吉男：物理数学第一巻、P.38～40、岩波書店、1931年。